

Gneis

11-16-EP-RO-101, NC x 32



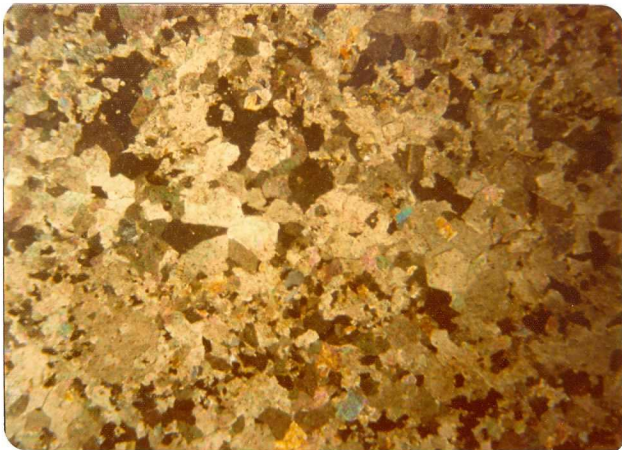
11-16-EP-R0-119

Aspecto de detalle de los esquistos y gneises migmatíticos (PC-CAΨ), cerca de la frontera con Portugal por Miranda do Douro.

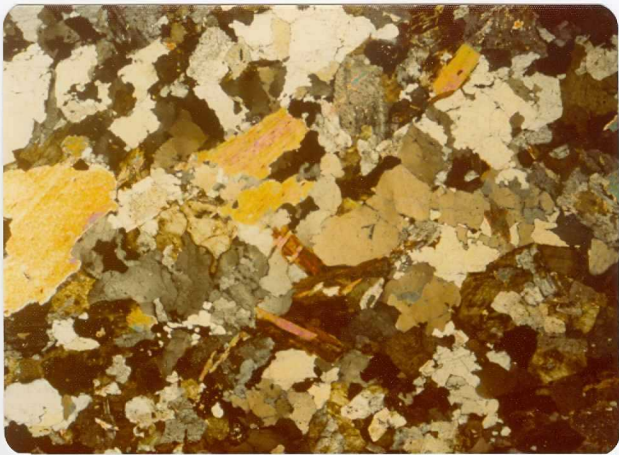


11-16-EP-RO-129

Aspecto de las intercalaciones de calizas exis
tentes en la unidad de esquistos y gneises (PC-CA), en los al
rededores de Pinilla de Fermoselle.

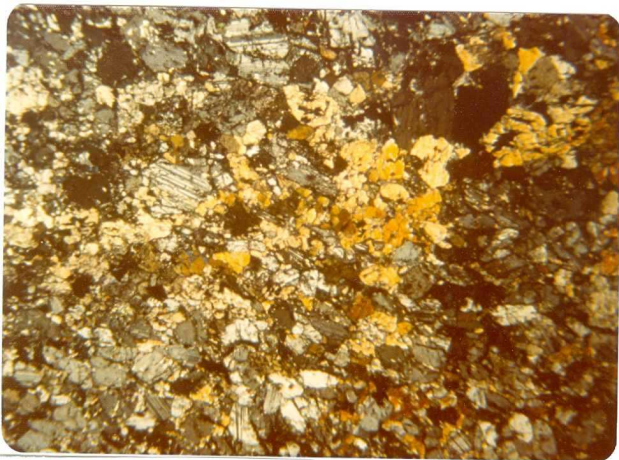


11- 16 - EP - R0 - 131 , NC x 32



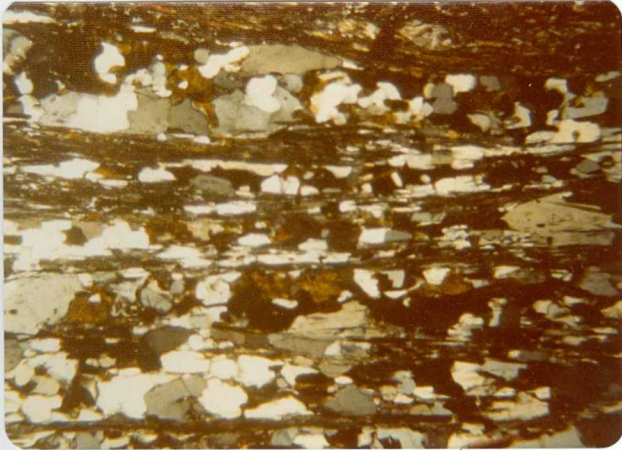
11-16-EP-RO-134 , NC x 16

Granito neísico de dos micas



Corneana piroxenica

11-16-EP-RO-135, NC x 32



11-16-EP-RO-136, NC x 32

Esquisto sillimanítico-granatífero



Esquisto neísico

11-16-EP-R0-138, NC x 16



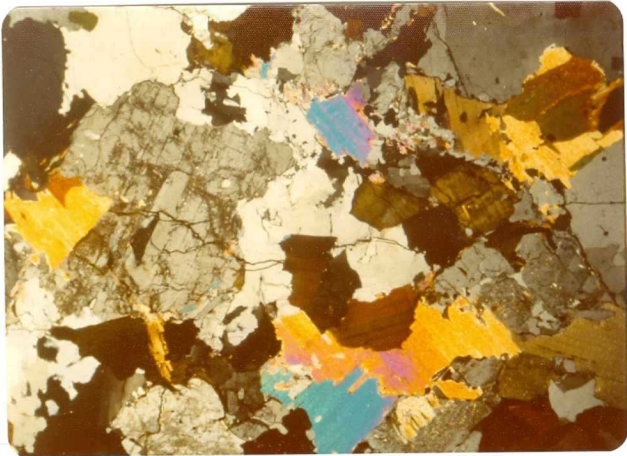
Neis granítico (adamellítico)

11-16-EP-RO-142, NC x 16



11-16-EP-RO-145, NC x 16

Esquisto neísico microglandular



Granito de dos micas

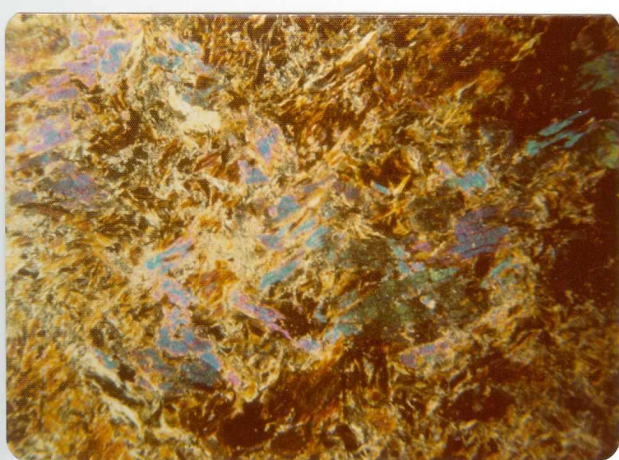
11-16-EP-RO-150, NC x 16



11-16-EP-RO-151

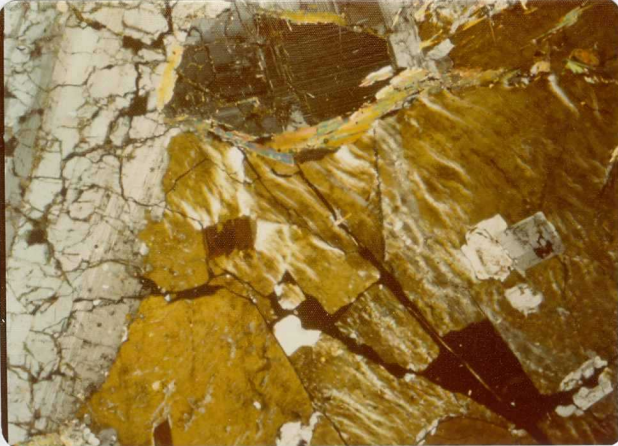
Detalle del granito de grano grueso (c_3T^{22})

Aparece una cierta orientación en el conjunto de los componentes.



Micacita ferruginosa

11-16-EP-R0-155, NC x 32



11-16-EP-RO-157, NC x 16

Granito porfídico con megacristales

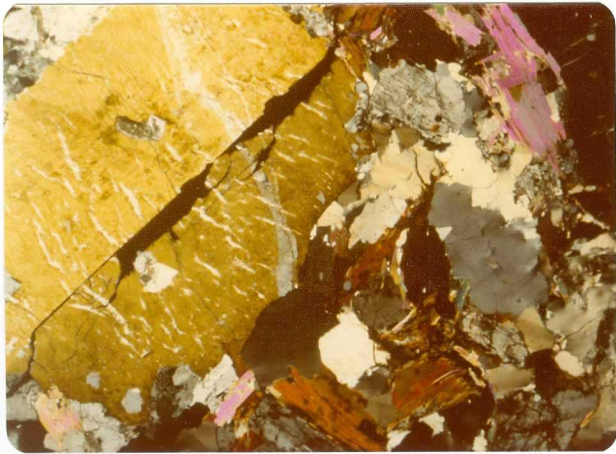


11-16-EP-RO-16, NC x 16

Cuarzo-monzonita anfibólica



Cuarzo-monzonita anfibólica 11-16-EP-RO-16, NP x 16



Granito porfídico

11-16-EP-RO-165, NC x 16



11-16-EP-RO-200

Otra variedad del granito de grano grueso con dos micas. ($c_3\gamma^{22}$). Se observa la presencia de algunos fe nocristales subidiomorfos.



11-16-EP-RO-231

Vista de la serie anterior cerca del contacto con la unidad de granito de megacristales ($\text{p}\gamma^2$). Se observa que la serie es cortada en esta zona por diques de composición granítica.



11-16-EP-RO-232

Vista de detalle de los niveles calizos antes descritos, (F-129).



11-16-EP-R0-233

Vista de los gneises glandulares tipo "Ollón de Sapo" (PC-CA ζ), en los alrededores de Cozcurrita.



11-16-EP-RO-234

Detalle de los gneises representados en la fotografía anterior. Se observan los grandes fenablastos de feldespato potásico que caracterizan a estos gneises, así como la patente esquistosidad de crenulación (S_2), que ha afectado a los mismos.



11-16-EP-R0-235

Vista de detalle de los gneises listados (PC-CAξξ), al SO. de Cozcurrita en los alrededores de la Ermita del Castillo. Se observan los fenoblastos de feldespato potásico alargados y replegamiento local a pequeña escala.



11-16-EP-RO-236

Id. anterior, tomada más al norte.



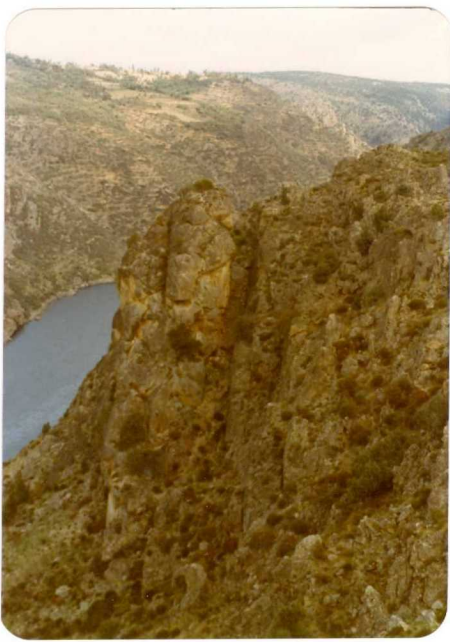
11-16-EP-RO-237

Vista panorámica del tramo constituido por esquistos y gneises migmatíticos (PC-CAΨ), cerca del río Duero- frontera con Portugal.



11-16 -EP- RO-238

Panorámica de uno de los enclaves de granito de grano grueso con dos micas ($c_3 T^{22}$), existentes dentro del afloramiento de esquistos y gneises migmatíticos (PC-CA Ψ), observables en primer término.



11-16-EP-RO-239

Id. anterior, pero dentro de un enclave granítico. Tanto esta fotografía como la anterior, se han obtenido cerca del río Duero, donde éste constituye la frontera con Portugal. Los enclaves graníticos dan, por erosión diferencial, con respecto a los esquistos y gneises migmatíticos (PC-CA Ψ), grandes farallones en ambas márgenes del río.



11-16-EP-RO-240

Vista panorámica de los sedimentos tipo raña,

$(T_{c2}^B - Q_1)$ al S. de Fornillos de Fermogelle.



11-16-EP-RO-241

Panorámica del afloramiento de esquistos y
gneises (PC-CA), existente al SO. de la Hoja, junto al
río Duero.



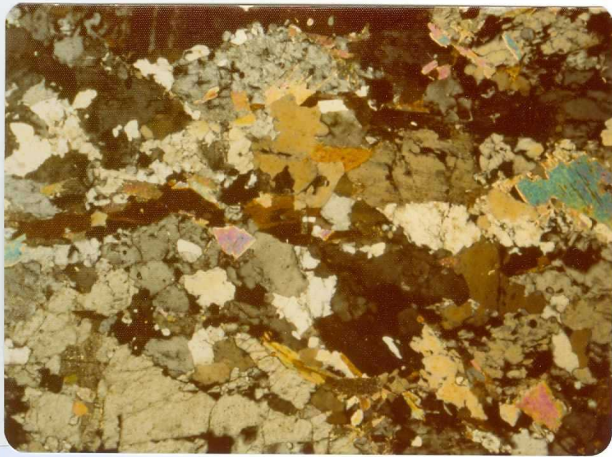
11-16-EP-RO-242

Aspecto de detalle de los esquistos y
gneises migmatíticos (PC-CA Ψ).



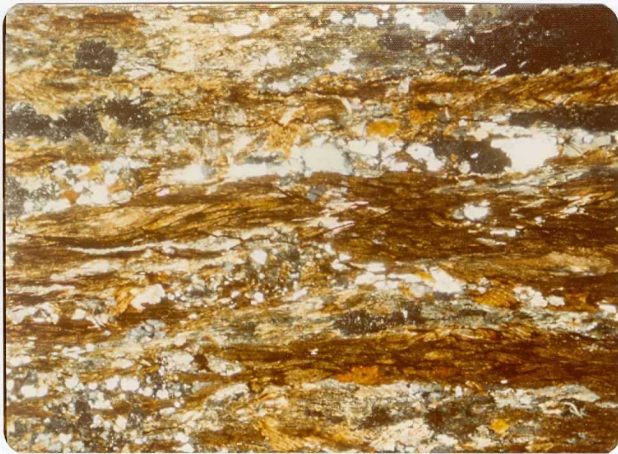
Granodiorita

11-16-EP-RO-25, NC x 16



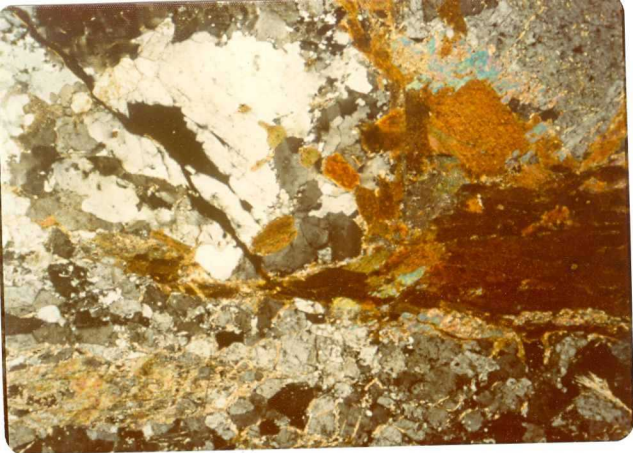
Gneis (de dos micas)

11-16-EP-RO-41, NC x 16



Esquisto feldespártico.

11-16-EP-RO-69, NC x 16



Gneis

11-16-EP-RO-81, NC x 16